

DOI: 10.13208/j.electrochem.140442

Cite this: *J. Electrochem.* 2015, 21(1): 22-28

Artical ID:1006-3471(2015)01-0022-07  
[Http://electrochem.xmu.edu.cn](http://electrochem.xmu.edu.cn)

# “金标银染”放大技术的羟基自由基灵敏检测

杨 妍<sup>1,2</sup>,喻 鹏<sup>1</sup>,张小华<sup>1\*</sup>,陈金华<sup>1\*</sup>

(1. 湖南大学化学化工学院, 化学生物传感与计量学国家重点实验室, 湖南 长沙 410082;  
2. 南阳师范学院化学与制药工程学院, 河南 南阳 473061)

**摘要:** 本文采用银染增强金纳米粒子(AuNPs)为信号因子, 构建了一种新型的灵敏检测羟基自由基( $\cdot\text{OH}$ )的DNA电化学传感器。首先, 疏基化的DNA1通过Au—S键自组装于金基底电极表面。然后, 由Fenton反应产生的 $\cdot\text{OH}$ 可引起电极表面DNA1自组装层的氧化损伤裂解, 未损伤的DNA1可与功能化AuNPs上的DNA2杂交。利用AuNPs对银离子的催化还原反应, 将银原子沉积在AuNPs的周围, 形成一层银外壳, 再用差分脉冲伏安法(DPV)技术对沉积的银进行电化学检测, 从而实现 $\cdot\text{OH}$ 的定量分析。研究结果表明, 在最优实验条件下, 该传感器检测 $\cdot\text{OH}$ 的线性范围为0.2~200  $\mu\text{mol}\cdot\text{L}^{-1}$ , 检测下限为50  $\text{nmol}\cdot\text{L}^{-1}$ 。该传感器有较好的重复性、选择性, 并在抗氧化剂抗氧化能力评估方面具有潜在应用价值。

**关键词:** 羟基自由基; DNA损伤; 金纳米粒子; 银染增强; 电化学传感器

中图分类号: O646

文献标识码: A

活性氧是生物有氧代谢过程的一副产品, 主要包括超氧阴离子( $\text{O}_2^{\cdot-}$ ), 过氧化氢( $\text{H}_2\text{O}_2$ )和羟基自由基( $\cdot\text{OH}$ )。其中,  $\cdot\text{OH}$ 是最活泼的活性物种, 能引起严重的DNA、蛋白质和体液氧化损伤、脂质过氧化和细胞毒作用等<sup>[1-4]</sup>。在正常生理情况下, 体内 $\cdot\text{OH}$ 一般处于不断产生与清除的动态平衡之中, 维持在正常生理水平上。但在疾病或某些外源性药物的作用下,  $\cdot\text{OH}$ 会快速地增加, 导致氧化应激和抗氧化防御之间的平衡失调, 从而在毒理学和病理学上导致机体的衰老和疾病的产生<sup>[5-7]</sup>。因此, 跟踪和检测 $\cdot\text{OH}$ 对病理研究和疾病预防有重要意义。

目前,  $\cdot\text{OH}$ 检测方法主要包括荧光法、电子自旋共振法及高效液相色谱法等<sup>[8-10]</sup>。然而这些方法仪器昂贵、成本高, 难以实现常规监测。电化学方法易于操作、响应速率快、价格低廉、能耗低, 且易于小型化<sup>[11-12]</sup>。文献曾报道过 $\cdot\text{OH}$ 引起的DNA损伤分析及抗氧化剂评估等<sup>[13-15]</sup>, 但针对 $\cdot\text{OH}$ 浓度的检测研究甚少。最近, 作者课题组<sup>[16]</sup>构建了一种生物条形码放大的DNA电化学传感器, 实现了 $\cdot\text{OH}$ 的检测, 但检测灵敏度仍不高。针对 $\cdot\text{OH}$ 检测的

DNA电化学传感器还有待深入研究。此外, “金标银染”放大技术由于具有操作简便、对响应信号放大明显等特点, 在电化学生物传感(如手性氨基酸检测、电化学免疫分析和DNA分析)等方面得到了较好的应用<sup>[17-19]</sup>。“金标银染”放大技术的基本原理为利用金纳米颗粒(AuNPs)对银离子的催化还原反应, 将银原子沉积在AuNPs的周围, 形成一层银外壳, 再采用差分脉冲伏安法(DPV)等电化学技术对沉积的银进行检测, 从而实现目标物的灵敏分析。但应用“金标银染”放大技术进行 $\cdot\text{OH}$ 的电化学检测目前尚未见报道。

本文采用“金标银染”放大技术构建了用于 $\cdot\text{OH}$ 检测的电化学DNA传感器(图1)。通过Fenton反应产生的 $\cdot\text{OH}$ 对电极表面的DNA1产生氧化损伤, 没有损伤的DNA1可以通过碱基互补配对与功能化金纳米颗粒上的DNA2杂交, 再通过金纳米颗粒催化银染法放大响应信号, 实现 $\cdot\text{OH}$ 的高灵敏度检测。

## 1 实验

### 1.1 试剂与仪器

收稿日期: 2014-08-04, 修订日期: 2014-09-25 \* 通讯作者, Tel: (86-731)88821848, E-mail: chenjinhua@hnu.edu.cn;  
mickyxie@hnu.edu.cn

国家自然科学基金项目(No. 21275041, No. 21235002, No. 21221003)资助

DNA1 (5'-SH-(CH)<sub>6</sub>-GGT CCG CTT GCT CTC GC-3') 和 DNA2 (5'-SH-(CH)<sub>6</sub>-CGG GCG AGA GCA AGC GGA-3') (上海生物工程). 6-巯基-1-己醇 (MCH, 99%, Sigma-Aldrich). AuNPs (粒径约为 13 nm) 溶液由柠檬酸盐还原氯金酸法制得<sup>[20]</sup>, 4 °C 冰箱中储存待用. ·OH 由 EDTA 聚合的过渡金属 Fe<sup>2+</sup>(FeSO<sub>4</sub>) 催化 H<sub>2</sub>O<sub>2</sub> 发生 Fenton 反应产生 (Fe<sup>2+</sup>:EDTA:H<sub>2</sub>O<sub>2</sub> = 1:6, by mole) 以 Fe<sup>2+</sup> 浓度近似表示 ·OH 的浓度)<sup>[16, 21]</sup>. 银染溶液现配<sup>[20, 22]</sup>. 实验用水为超纯水. 其他试剂均为分析纯.

由金电极 ( $\phi = 2$  mm)、饱和甘汞参比电极 (SCE) 和铂辅助电极组成传统的三电极体系, 通过饱和 KNO<sub>3</sub> 溶液的盐桥, 将参比电极与电解质溶液隔开. 使用 CHI660B 电化学工作站 (上海辰华) 测试电极的循环伏安(CV)曲线、电化学阻抗(EIS) 谱图和差分脉冲伏安(DPV) 曲线. EIS 频率范围 0.1 Hz ~ 100 kHz, 振幅 0.005 V, CV 电位区间 -0.10 ~ 0.55 V, 扫速 0.05 V·s<sup>-1</sup>. 电解质溶液为 0.1 mol·L<sup>-1</sup> KCl + 5 mmol·L<sup>-1</sup> [Fe(CN)<sub>6</sub>]<sup>3-/4-</sup> (1:1, by volume) 水溶液. 使用 UV-2100 紫外-可见分光光度仪表征功能化的金纳米颗粒.

## 1.2 DNA2 功能化金纳米粒子

先将 AuNPs 溶液(2 mL)与 DNA2(2 OD)混合, 然后向该混合液中缓慢加入一定量的 0.1 mol·L<sup>-1</sup> NaCl 和 10 mmol·L<sup>-1</sup> PBS(pH 7.4) 溶液. 室温下搅拌 24 h, 14000 r·min<sup>-1</sup> 离心 30 min, 即得 DNA2 功能化金纳米粒子 (DNA2-AuNPs). 再将所得的 DNA2-AuNPs 样品转移于 2 mL 缓冲溶液 (30

mmol·L<sup>-1</sup> PBS (pH 7.4) + 233 mmol·L<sup>-1</sup> NaCl + 8.5 mmol·L<sup>-1</sup> KCl + 1.7 mmol·L<sup>-1</sup> MgCl<sub>2</sub> + 1.7 mmol·L<sup>-1</sup> CaCl<sub>2</sub>) 中即可<sup>[21, 23]</sup>.

## 1.3 传感界面构建和羟基自由基电化学检测

Au 基底电极依次用 0.5 μm 和 0.05 μm Al<sub>2</sub>O<sub>3</sub> 粉抛光, 无水乙醇和超纯水超声清洗各 5 min, 除去金电极表面吸附的 Al<sub>2</sub>O<sub>3</sub> 粉末. 处理的 Au 基底电极置于 0.5 mol·L<sup>-1</sup> H<sub>2</sub>SO<sub>4</sub> 溶液中循环伏安扫描 (-0.3 ~ 1.5 V, 扫速 0.1 V·s<sup>-1</sup>), 直至 Au 特征循环伏安曲线稳定. 而后超纯水冲洗干净, 氮气吹干备用.

将 10 μL 5 μmol·L<sup>-1</sup> 疏基化的 DNA1 溶液 (30 mmol·L<sup>-1</sup> PBS, pH 7.4) 滴涂于已处理的金基底电极表面并室温下搁置 16 h, 然后将该修饰电极置于 1 mmol·L<sup>-1</sup> MCH 溶液中浸泡 1 h 以封闭金基底电极上未结合的活性位点, 即得 MCH/DNA1/Au 电极. 该电极在 Fenton 溶液 (Fe<sup>2+</sup>:EDTA:H<sub>2</sub>O<sub>2</sub> = 1:6, by mole) 中浸泡 30 min, 使溶液中产生的 ·OH 与 DNA1 完全反应. 然后又滴涂 20 μL DNA2-AuNPs 溶液在 ·OH 反应后的 MCH/DNA1/Au 电极上, 室温下搁置 2 h, 即得 DNA2-AuNPs/MCH/DNA1/Au 电极. 为放大检测信号, 将 DNA2-AuNPs/MCH/DNA1/Au 电极避光浸泡于银染溶液中 10 min, 然后用大量的水冲洗电极, 去除多余的银染溶液. 传感器制备过程中, 每步操作之后均用 10 mmol·L<sup>-1</sup> PBS 缓冲溶液 (pH 7.4) 冲洗电极, 并用氮气吹干.

将经银染放大处理的 DNA2-AuNPs/MCH/DNA1/Au 电极在 0.1 mol·L<sup>-1</sup> 的 KNO<sub>3</sub> 溶液中测试 DPV 曲线, 电位扫描范围 -0.1 ~ 0.3 V, 振幅 0.05 V,

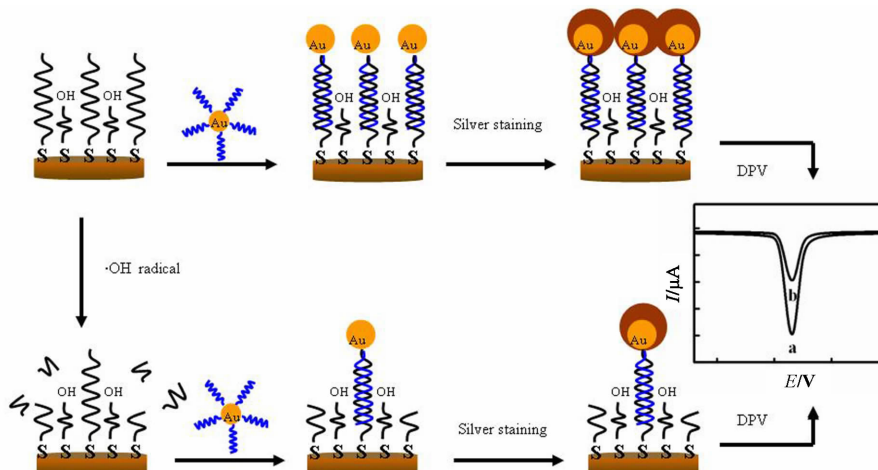


图 1 “金标银染法”放大技术的羟基自由基检测示意图

Fig. 1 Schematic illustration of the amplification detection of hydroxyl radical based on silver-enhanced gold nanoparticle label

脉冲宽度 0.05 s, 脉冲周期 0.2 s, DPV 响应信号为电极上银纳米颗粒的氧化电流. 所有实验均重复 3 次及以上, 金基底电极的每一步修饰均使用 EIS 和 CV 技术进行表征.

## 2 结果与讨论

### 2.1 AuNPs 的紫外-可见光谱表征

使用紫外-可见光谱表征 AuNPs 和 DNA2-AuNPs 样品, 如图 2 所示. 粒径约 13 nm 的 AuNPs 在 520 nm 处有一特征紫外吸收峰, DNA2-AuNPs 的吸收峰则在 522 nm 附近. 该紫外吸收峰位置的微小变化说明, 在 AuNPs 上修饰 DNA 虽影响了 AuNPs 的分布, 但并未改变 AuNPs 的固有特性.

### 2.2 传感界面的电化学表征

不同电极在 5 mmol·L<sup>-1</sup> [Fe(CN)<sub>6</sub>]<sup>3-/4-</sup>(1:1) + 0.1 mol·L<sup>-1</sup> KCl 溶液中的交流阻抗谱图和循环伏安曲线如图 3 所示. 在法拉第阻抗谱图低频区的线性部分对应着电极的扩散控制过程, 高频区的半圆部分对应着电子转移控制过程. 如果电荷转移速率比较快, 阻抗谱图中可能只存在线性部分. 相反, 比较慢的电荷转移过程的阻抗谱图中则出现一个较大的半圆, 半圆的直径等于电极上电子转移电阻( $R_{ct}$ ). 从图 3A 中可以看到, 裸金电极半圆直径很小( $R_{ct} = 124 \Omega$ , 曲线 a), 表明其有比较好的电子转移能力. DNA1 通过 Au—S 键自组装得到 DNA1/Au 电极, 带负电的 DNA1 能有效地阻碍 [Fe(CN)<sub>6</sub>]<sup>3-/4-</sup> 探针与电极之间的电子传递, 使电子转移阻力增加( $R_{ct} = 2601 \Omega$ , 曲线 b). 为消除电极表面未结合位点的非特异性吸附效应, 采用 MCH 封闭 DNA1/Au 电极, 即得 MCH/DNA1/Au 电极, 其

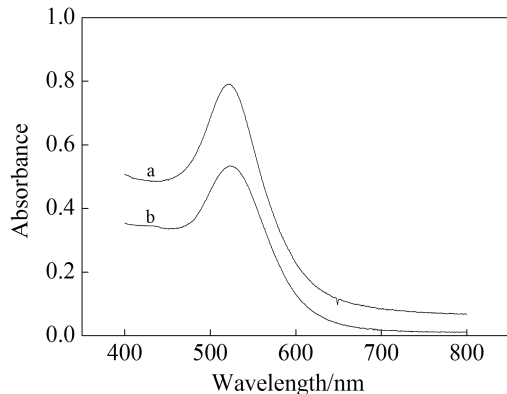


图 2 AuNPs(a)和 DNA2-AuNPs(b)的紫外-可见光谱图

Fig. 2 UV-visible spectra of AuNPs (a) and DNA2-functionalized AuNPs (b)

$R_{ct}$  值进一步增加 ( $R_{ct} = 6226 \Omega$ , 曲线 c). 而后 MCH/DNA1/Au 电极的 DNA1 与功能化 AuNPs 上的 DNA2 进行杂交, 可得 DNA2-AuNPs/MCH/DNA1/Au 电极, 其  $R_{ct}$  有显著的增加 ( $R_{ct} = 10517 \Omega$ , 曲线 d). DNA2 与 DNA1 的杂交使电极表面连接了更多带负电荷的 DNA, 且 DNA2-AuNPs 的空间位阻较大, 进一步阻碍了电极与 [Fe(CN)<sub>6</sub>]<sup>3-/4-</sup> 之间的电子转移. 这表明, 通过图 1 所示步骤已成功构建了 DNA2-AuNPs/MCH/DNA1/Au 电极.

不同传感电极的循环伏安曲线如图 3B 所示. 裸 Au 电极的循环伏安曲线呈现出 [Fe(CN)<sub>6</sub>]<sup>3-/4-</sup> 的准可逆氧化还原峰, 电极依次修饰了 DNA1、MCH、DNA2-AuNPs 后, 循环伏安曲线的氧化还原峰电位差 ( $\Delta E_p$ ) 逐增, 而氧化还原峰电流趋减. 这表明随着自组装步骤的进行, 电极表面的电子转

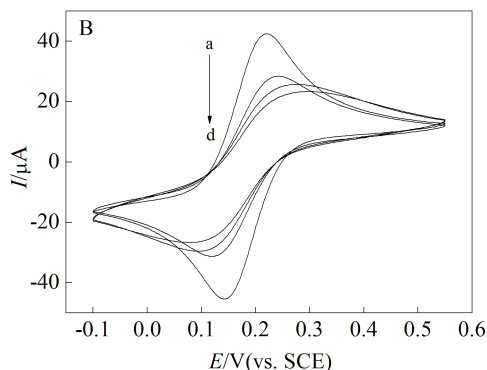
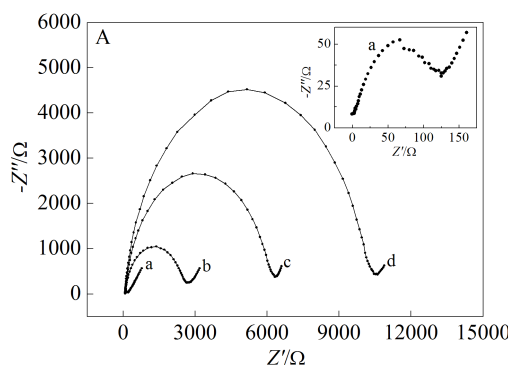


图 3 裸 Au(a)、DNA1/Au(b)、MCH/DNA1/Au(c) 和 DNA2-AuNPs/MCH/DNA1/Au(d) 电极的电化学阻抗谱图(A)和循环伏安曲线(B)

Fig. 3 Nyquist plots (A) and cyclic voltammograms (B) of the different electrodes

a. Bare gold electrode; b. DNA1/Au electrode; c. MCH/DNA1/Au electrode; d. DNA2-AuNPs/MCH/DNA1/Au electrode

移速率越来越慢。

### 2.3 实验可行性

如图4所示,未与·OH反应的MCH/DNA1/Au电极经与DNA2-AuNPs杂交并银染放大处理后的DPV响应信号 $I_a$ 为19.8 μA(曲线a),与5 μmol·L<sup>-1</sup>·OH反应后的MCH/DNA1/Au电极经与DNA2-AuNPs杂交并银染放大处理后的DPV响应信号 $I_b$ 为9.7 μA(曲线b)。由此可看出,MCH/DNA1/Au电极中的DNA1经5 μmol·L<sup>-1</sup>·OH氧化损伤后,引发DNA1链断裂,引起电极上DNA2-AuNPs减少,在接下来的银染反应中金催化沉积银的量也随之减少,从而导致其DPV响应电流明显降低,其

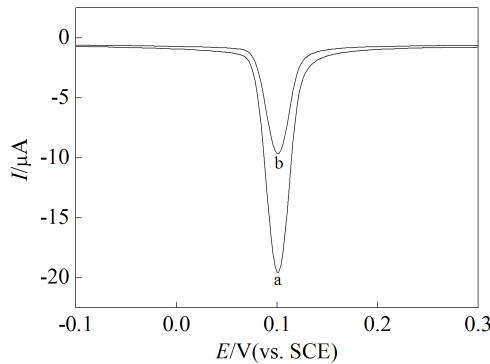


图4 MCH/DNA1/Au电极与5 μmol·L<sup>-1</sup>·OH反应前(a)和后(b)经DNA2-AuNPs杂交并银染放大后的DPV响应信号

Fig. 4 DPV responses of MCH/DNA1/Au electrode before (a) and after (b) interacted with 5 μmol·L<sup>-1</sup>·OH and then further modified with silver-enhanced DNA2-AuNPs

电流变化值( $\Delta I = I_a - I_b$ )为10.1 μA。这表明,所设计的该DNA电化学传感器用于·OH检测是可行的。

### 2.4 实验参数优化

银染时间和·OH与MCH/DNA1/Au电极反应时间对DNA2-AuNPs/MCH/DNA1/Au电极DPV响应信号的影响如图5所示。随着银染时间的增加,金催化银的沉积量随之增加,其DPV响应信号也增大。当时间太长时,银染溶液中Ag<sup>+</sup>会与电极上带负电荷的DNA链发生非特异性吸附,导致Ag单独成核,造成干扰,故控制银染时间非常重要。DNA2-AuNPs/MCH/DNA1/Au电极随着银染时间增加,其DPV响应信号随之增加,10 min之后DPV响应信号没有明显变化(图5A),故选取10 min为银染时间。从·OH与MCH/DNA1/Au电极反应时间对DNA2-AuNPs/MCH/DNA1/Au电极DPV响应信号的影响(图5B)可看出,随着·OH与电极反应时间增加,DPV响应信号逐渐减小,30 min趋于稳定,故选取30 min为·OH与MCH/DNA1/Au电极的反应时间。

### 2.5 羟基自由基的检测

MCH/DNA1/Au电极与不同浓度的·OH反应后,经DNA2-AuNPs杂交并银染放大处理后的DPV响应信号曲线由图6A示出。从图6中可以看出,DPV响应信号随着·OH浓度的增加而减小(图6A)。DPV峰电流差值 $\Delta I$ 和·OH浓度的对数在0.2~200 μmol·L<sup>-1</sup>成线性关系(图6B),线性回归方程 $\Delta I/\mu\text{A} = 4.9069\lg[C_{\cdot\text{OH}}/(\mu\text{mol}\cdot\text{L}^{-1})] + 5.7687(R^2$

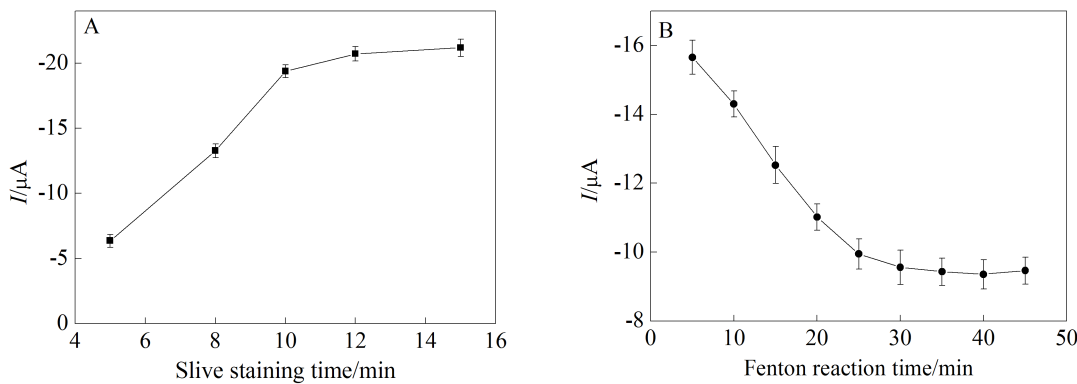


图5 银染时间(A)和·OH与MCH/DNA1/Au电极反应时间(B)对DNA2-AuNPs/MCH/DNA1/Au电极DPV响应信号的影响( $C_{\cdot\text{OH}} = 5 \mu\text{mol}\cdot\text{L}^{-1}$ )

Fig. 5 The influence of silver staining time (A) and the reaction time between ·OH and the MCH/DNA1/Au electrode (B) on the DPV responses of the DNA2-AuNPs/MCH/DNA1/Au electrode ( $C_{\cdot\text{OH}} = 5 \mu\text{mol}\cdot\text{L}^{-1}$ )

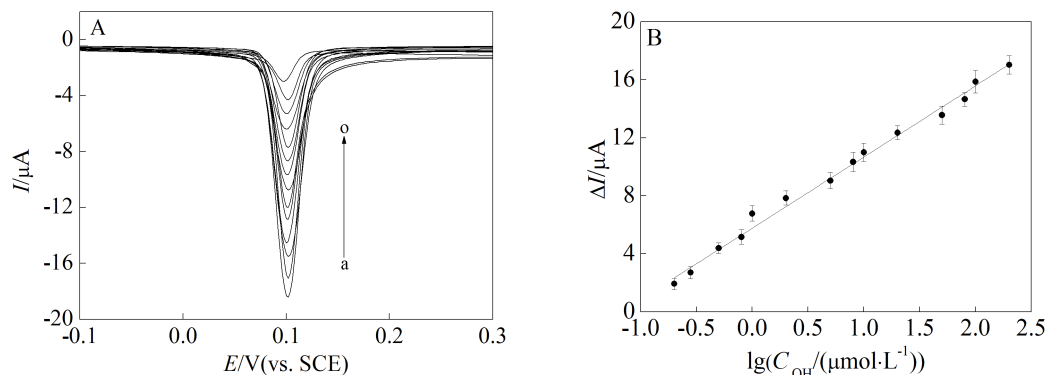


图 6 A. MCH/DNA1/Au 电极与不同浓度 ·OH 反应后经 DNA2-AuNPs 杂交并银染放大处理的 DPV 响应曲线 ( $C_{\cdot\text{OH}}/(\mu\text{mol}\cdot\text{L}^{-1})$ : 0, 0.2, 0.3, 0.5, 0.8, 1, 2, 5, 8, 10, 20, 50, 80, 100, 200(a → o)); B. DPV 峰电流差值( $\Delta I$ )与 ·OH 浓度对数之间的校正曲线

Fig. 6 A. DPV responses of the MCH/DNA1/Au electrode interacted with different concentrations of ·OH further modified with silver-enhanced DNA2-AuNPs (the concentrations of ·OH are 0, 0.2, 0.3, 0.5, 0.8, 1, 2, 5, 8, 10, 20, 50, 80, 100, 200  $\mu\text{mol}\cdot\text{L}^{-1}$  (from a to o)); B. The linear fitting plot of the DPV peak current difference ( $\Delta I$ ) as a function of the logarithm of ·OH concentration

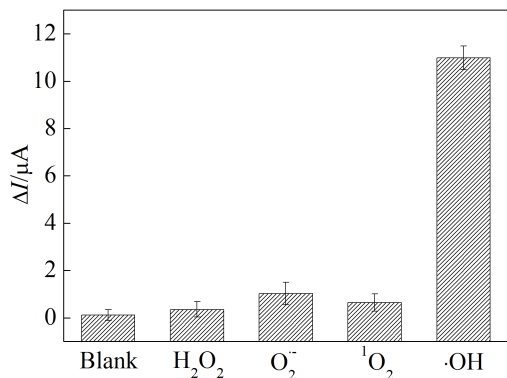


图 7 所发展传感电极对  $\text{H}_2\text{O}_2$ 、 $\text{O}_2^-$ 、 ${}^1\text{O}_2$  和 ·OH 检测的选择性

Fig. 7 Selectivity of the developed electrode to  $\text{H}_2\text{O}_2$ 、 $\text{O}_2^-$ 、 ${}^1\text{O}_2$  and ·OH

= 0.9918), 检测限为  $50 \text{ nmol}\cdot\text{L}^{-1}$  ( $S/N=3$ ). 与其他检测 ·OH 的电化学传感器相比, 基于“金标银染”放大技术的 DNA 电化学传感器极大地提高了检测灵敏度, 其检测限远低于最近发展的基于生物条形码放大的 DNA 电化学传感器 ( $3 \mu\text{mol}\cdot\text{L}^{-1}$ <sup>[16]</sup> 和一些光电传感器获得的检测限 ( $10 \mu\text{mol}\cdot\text{L}^{-1}$ <sup>[24]</sup> 和  $1 \text{ mmol}\cdot\text{L}^{-1}$ <sup>[25]</sup>)).

## 2.6 选择性和重现性

生物体系中可能共存其他活性氧(如  $\text{H}_2\text{O}_2$ 、 $\text{O}_2^-$  和  ${}^1\text{O}_2$ ), 因此, 有必要考察该电化学 DNA 传感器的选择性, 结果如图 7 所示. 相对于  $5 \mu\text{mol}\cdot\text{L}^{-1}$  ·OH, 分别与  $50 \mu\text{mol}\cdot\text{L}^{-1}$   $\text{H}_2\text{O}_2$ 、 $\text{O}_2^-$  和  ${}^1\text{O}_2$  反应后的

MCH/DNA1/Au 电极经 DNA2-AuNPs 杂交并银染放大获得的响应信号均非常小, 充分说明该传感器具有比较好的选择性. 此外, 10 支相同的 MCH/DNA1/Au 电极对  $5 \mu\text{mol}\cdot\text{L}^{-1}$  ·OH 的检测, 其响应信号的标准误差为 4.3 %, 表明该传感器具有很好的重现性.

## 3 结 论

基于“金标银染”放大技术, 构建了一种高灵敏检测 ·OH 的新型电化学 DNA 传感器. 在优化条件下, 该电化学 DNA 传感器对 ·OH 检测表现出了极佳性能, 检测范围宽 ( $0.2 \sim 200 \mu\text{mol}\cdot\text{L}^{-1}$ ), 检测限低 ( $50 \text{ nmol}\cdot\text{L}^{-1}$ ), 具有良好的选择性和重现性. 此外, 该电化学传感器有望在抗氧化剂抗氧化性能评估方面获得应用.

## 参 考 文 献(References):

- [1] Mello L D, Hernandez S, Marrazza G, et al. Investigations of the antioxidant properties of plant extracts using a DNA-electrochemical biosensor[J]. Biosensors and Bioelectronics, 2006, 21(7): 1374-1382.
- [2] Valko M, Izakovic M, Mazur M, et al. Role of oxygen radicals in DNA damage and cancer incidence[J]. Molecular and Cellular Biochemistry, 2004, 266(1/2): 37-56.
- [3] King P, Anderson V, Edwards J, et al. A stable solid that generates hydroxyl radical upon dissolution in aqueous solutions: Reaction with proteins and nucleic acid[J]. Journal of the American Chemical Society, 1992, 114 (13): 5430-5432.

- [4] Cadet J, Delatour T, Douki T, et al. Hydroxyl radicals and DNA base damage [J]. Mutation Research/Fundamental and Molecular Mechanisms of Mutagenesis, 1999, 424(1): 9-21.
- [5] Bandyopadhyay U, Das D, Banerjee R K. Reactive oxygen species: Oxidative damage and pathogenesis [J]. Current Science, 1999, 77(5): 658-666.
- [6] Raha S, Robinson B H. Mitochondria, oxygen free radicals, disease and ageing [J]. Trends in Biochemical Sciences, 2000, 25(10): 502-508.
- [7] Loeb L A, Wallace D C, Martin G M. The mitochondrial theory of aging and its relationship to reactive oxygen species damage and somatic mtDNA mutations [J]. Proceedings of the National Academy of Sciences of the United States of America, 2005, 102(52): 18769-18770.
- [8] Newton G L, Milligan J R. Fluorescence detection of hydroxyl radicals [J]. Radiation Physics and Chemistry, 2006, 75(4): 473-478.
- [9] Pou S, Ramos C L, Gladwell T, et al. A kinetic approach to the selection of a sensitive spin trapping system for the detection of hydroxyl radical [J]. Analytical Biochemistry, 1994, 217(1): 76-83.
- [10] Pritsos C A, Constantinides P P, Tritton T R, et al. Use of high-performance liquid chromatography to detect hydroxyl and superoxide radicals generated from mitomycin C [J]. Analytical Biochemistry, 1985, 150(2): 294-299.
- [11] Yu J, Ge L, Huang J, et al. Microfluidic paper-based chemiluminescence biosensor for simultaneous determination of glucose and uric acid [J]. Lab on A Chip, 2011, 11(7): 1286-1291.
- [12] Liu Y, Hu N. Electrochemical detection of natural DNA damage induced by ferritin/ascorbic acid/H<sub>2</sub>O<sub>2</sub> system and amplification of DNA damage by endonuclease Fpg [J]. Biosensors and Bioelectronics, 2009, 25(1): 185-190.
- [13] Labuda J, Bučková M, Hejlerová L, et al. Detection of antioxidative activity of plant extracts at the DNA-modified screen-printed electrode [J]. Sensors, 2002, 2(1): 1-10.
- [14] Huang J, Li T, Chen Z, et al. Rapid electrochemical detection of DNA damage and repair with epigallocatechin gallate, chlorogenic acid and ascorbic acid [J]. Electrochemistry Communications, 2008, 10(8): 1198-1200.
- [15] Zu Y, Liu H, Zhang Y, et al. Electrochemical detection of *in situ* DNA damage with layer-by-layer films containing DNA and glucose oxidase and protection effect of catalase layers against DNA damage [J]. Electrochimica Acta, 2009, 54(10): 2706-2712.
- [16] Wu L, Yang Y, Zhang H, et al. Sensitive electrochemical detection of hydroxyl radical with biobarcode amplification [J]. Analytica Chimica Acta, 2012, 756: 1-6.
- [17] Wang Y, Yin X, Shi M, et al. Probing chiral amino acids at sub-picomolar level based on bovine serum albumin enantioselective films coupled with silver-enhanced gold nanoparticles [J]. Talanta, 2006, 69(5): 1240-1245.
- [18] Chen Z, Peng Z, Luo Y, et al. Successively amplified electrochemical immunoassay based on biocatalytic deposition of silver nanoparticles and silver enhancement [J]. Biosensors and Bioelectronics, 2007, 23(4): 485-491.
- [19] Lin L, Liu Y, Tang L, et al. Electrochemical DNA sensor by the assembly of graphene and DNA-conjugated gold nanoparticles with silver enhancement strategy [J]. Analyst, 2011, 136(22): 4732-4737.
- [20] Deng C, Chen J, Nie Z, et al. Impedimetric aptasensor with femtomolar sensitivity based on the enlargement of surface-charged gold nanoparticles [J]. Analytical Chemistry, 2008, 81(2): 739-745.
- [21] Huang W T, Xie W Y, Shi Y, et al. A simple and facile strategy based on Fenton-induced DNA cleavage for fluorescent turn-on detection of hydroxyl radicals and Fe<sup>2+</sup> [J]. Journal of Materials Chemistry, 2011, 22(4): 1477-1481.
- [22] Huang Y, Wang T H, Jiang J H, et al. Prostate specific antigen detection using microgapped electrode array immunosensor with enzymatic silver deposition [J]. Clinical chemistry, 2009, 55(5): 964-971.
- [23] Huang C C, Chiu S H, Huang Y F, et al. Aptamer-functionalized gold nanoparticles for turn-on light switch detection of platelet-derived growth factor [J]. Analytical Chemistry, 2007, 79(13): 4798-4804.
- [24] Jia S P, Liang M M, Guo L H. Photoelectrochemical detection of oxidative DNA damage induced by Fenton reaction with low concentration and DNA-associated Fe<sup>2+</sup> [J]. The Journal of Physical Chemistry B, 2008, 112(14): 4461-4464.
- [25] Liang M M, Guo L H. Photoelectrochemical DNA sensor for the rapid detection of DNA damage induced by styrene oxide and the Fenton reaction [J]. Environmental Science & Technology, 2007, 41(2): 658-664.

## Sensitive Detection of Hydroxyl Radical Based on Silver-Enhanced Gold Nanoparticle Label

YANG Yan<sup>1,2</sup>, YU Peng<sup>1</sup>, ZHANG Xiao-hua<sup>1\*</sup>, CHEN Jin-hua<sup>1\*</sup>

(1. State Key Laboratory of Chemo/Biosensing and Chemometrics, College of Chemistry and Chemical Engineering, Hunan University, Changsha 410082, China; 2. College of Chemistry and Pharmaceutical engineering, Nanyang Normal University, Nanyang 473061, Henan, China)

**Abstract:** A novel DNA-based electrochemical sensor has been successfully constructed for sensitive detection of hydroxyl radical ( $\cdot\text{OH}$ ) based on the silver-enhanced gold nanoparticle label. Thiolated DNA1 was firstly immobilized on the gold electrode through Au—S bonds. The  $\cdot\text{OH}$  generated from Fenton reaction could induce serious oxidative damage of the DNA1 layer on the electrode surface. Then DNA2-functionalized gold nanoparticles (DNA2-AuNPs) were linked on the electrode through the hybridization between DNA2 and undamaged DNA1. Based on the catalytic reduction of silver ion by AuNPs, a silver layer was formed on the surface of AuNPs. The quantitative assay of  $\cdot\text{OH}$  was carried out by differential pulse voltammetry (DPV) detection of the deposited silver. Under the optimization conditions, the developed DNA-based biosensor could detect  $\cdot\text{OH}$  quantitatively with wide linear range ( $0.2 \sim 200 \mu\text{mol}\cdot\text{L}^{-1}$ ) and low detection limit ( $50 \text{ nmol}\cdot\text{L}^{-1}$ ), and exhibited satisfactory selectivity and reproducibility. This electrochemical biosensor could have potential application in the evaluation of antioxidant capacity.

**Key words:** hydroxyl radical; DNA damage; gold nanoparticle; silver-enhancement; electrochemical sensor